

# CORRIGÉ DM1 (2024-2025).

Problème ① : ( $\vec{g} = g \hat{e}_y$  avec  $g > 0$  (figue 1))

$$1^{\circ}) \vec{P}_A = -\rho_a \times \frac{4}{3}\pi R^3 \times g \hat{e}_y \quad (\text{opposé de la pesanteur du fluide})$$

$$2^{\circ}) \frac{\|\vec{P}_A\|}{\|\vec{P}\|} = \frac{\rho_a}{\rho_c} = 10^{-3}$$

On pourra donc négliger la poussée d'Archimède ( $\frac{1}{1000}$ ) devant la pesanteur (NB : il faudrait aussi la comparer aux autres forces prises en compte comme le frottement entre).

3°) Le Principe Fondamental de la dynamique s'applique à la gouttelette donne vectoriellement :

$$m \frac{d\vec{v}}{dt} = m \vec{g} - 6\pi \eta_a R \vec{n}$$

Référentiel supposé Galilien +  $\rho_a$  négligé.

$$\frac{d\vec{v}}{dt} = \vec{g} - \frac{6\pi \eta_a R}{\rho_c \times \frac{4}{3}\pi R^3} \vec{n}$$

soit  $\frac{d\vec{v}}{dt} = \vec{g} - \frac{9\eta_a}{2\rho_c R^2} \vec{n}$

4°) La constante  $\frac{2\rho_c R^2}{9\eta_a}$  apparaît comme temps caractéristique  $\tau$

A.N :  $\tau \approx 0,46 \text{ s}$

$$5^{\circ}) \frac{d\vec{v}}{dt} + \frac{\vec{v}}{\tau} = \vec{g} \Rightarrow \vec{v} = \underbrace{\vec{A} e^{-\frac{t}{\tau}}}_{\text{solution générale de l'EDL sans second membre}} + \underbrace{\vec{Z} \vec{g}}_{\text{solution particulière de l'EDL avec second membre}}$$

solution générale de l'EDL sans second membre

solution particulière de l'EDL avec second membre

En considérant une vitesse initiale nulle :

$$\vec{v} = \vec{Z} \vec{g} \left( 1 - e^{-\frac{t}{\tau}} \right) \quad (\vec{A} = -\vec{Z} \vec{g})$$

$$6^{\circ}) \vec{v}_t = \vec{v}(t \rightarrow \infty) = \vec{Z} \vec{g}$$

A.N :  $\|\vec{v}_t\| \approx 4,6 \text{ m.s}^{-1}$

(pas de 7°)

### 8) Atmosphère lourde

hyp: l'augmentation de volume est proportionnelle à sa surface

$$\text{soit: } \frac{dV(t)}{dt} = K S(t) \quad (K > 0)$$

$$\Rightarrow \frac{d\left(\frac{4}{3}\pi r(t)^3\right)}{dt} = K 4\pi r(t)^2$$

$$\Rightarrow 4\pi r^2 \times \frac{dr}{dt} = K 4\pi r^2$$

$$\Rightarrow \frac{dr}{dt} = K \quad (> 0)$$

avec les notations de l'énoncé et par intégration, on obtient:  $r(t) = r_0 + kt \quad (k = K)$ .

$$9^\circ) \frac{dm}{dt} = \cancel{\rho e} \frac{dV}{dt} = \cancel{\rho e} k 4\pi (r_0 + kt)^2$$

invariable.

10°) D'après le PFD (ou seconde loi de NEWTON):

$$\frac{d(m\vec{v})}{dt} = \frac{dm}{dt} \vec{v} + m \frac{d\vec{v}}{dt} \stackrel{\downarrow}{=} \cancel{\rho e} \frac{4}{3}\pi r^3(t) \vec{g} - 6\pi \gamma_a r(t) v(t) \vec{e}_3$$

$$m \frac{d\vec{v}}{dt} + \left( \cancel{\rho e} k 4\pi r(t)^2 + 6\pi \gamma_a r(t) \right) \vec{v}(t) = m \vec{g}$$

$$\frac{d\vec{v}}{dt} + \left( \frac{\cancel{\rho e} k 4\pi r^3(t)}{\cancel{\rho e} \frac{4}{3}\pi r^3(t)} + \frac{6\pi \gamma_a r(t)}{\cancel{\rho e} \frac{4}{3}\pi r^3(t)} \right) \vec{v}(t) = \vec{g}$$

qui donne, en simplifiant et en projetant sur  $\vec{g}$ :

$$\frac{dv}{dt} + \left( \frac{3k}{r(t)} + \frac{9\gamma_a}{2} \frac{1}{r(t)^2} \right) v(t) = g$$

$$\text{soit: } \begin{cases} A = 3k \\ B = \frac{9\gamma_a}{2} \end{cases}$$

11°) Avec la simplification proposée dans l'énoncé:

$$\frac{dv}{dt} + \left( \frac{3k}{r(t)} \right) v \approx g$$

En exploitant  $n(t)$ , l'équation sans second membre se écrit :

$$\frac{dn}{dt} + \frac{3k n(t)}{r_0+ht} = 0$$

En séparant les variables :

$$\frac{dn}{n} = -\frac{3k dt}{r_0+ht}$$

$$\frac{dn}{n} = -\frac{3k dt}{r_0+ht} = -3 \times \frac{du}{u}$$

$$\text{avec } u(t) = r_0 + ht$$

$\xrightarrow[\substack{\text{soit} \\ \text{second \\ membre}}]{\text{SSM}}$   $n_{SSM} = k' u^{-3}$

$$n_{SSM}(t) = k' (r_0 + ht)^{-3}$$

et en recherchant une solution particulière définie de l'équation avec second membre :

$$n \cdot n_{ASM} = A' + B't$$

$$\frac{dn_{ASM}}{dt} = B'$$

soit :  $B' + \frac{3k}{r_0+ht} (A' + B't) = g \quad \underline{\underline{t}}$  !

$$B'(r_0 + ht) + 3k(A' + B't) = g(r_0 + ht)$$

alors :  $\begin{cases} hB' = -hg \\ \text{et} \\ B'r_0 + 3kA' = gr_0 \end{cases} \Rightarrow \begin{cases} B' = \frac{g}{h} \\ A' = \frac{rg}{3k} \end{cases}$

$$\text{soit : } n_{ASM}(t) = \frac{rg}{4k} + \frac{g}{h} t$$

et la solution générale de l'EDO avec second membre s'écrit :

$$n(t) = \frac{k'}{(r_0+ht)^3} + \frac{rg}{4k} + \frac{gt}{h}$$

avec  $n(0) = 0$  on obtient :  $0 = \frac{k'}{r_0^3} + \frac{rg}{4k}$

soit  $k' = -\frac{gr_0^4}{4k}$

ainsi :

$$(n/t) = -\frac{g n^4}{4k} \left( \frac{1}{(n+t)^2} \right) + \frac{ng}{4k} + \frac{gt}{4}$$

17°] La goutte tend à minimiser son énergie en minimisant sa surface pour 1 volume donné (ce qui correspond à la forme sphérique). Il s'agit de la tension superficielle qui tend à contracter la surface "lâche". (Hors programme bien sûr !).

## II] Formation d'un arc en ciel

(Choix des sens trigonométrique pour l'orientation arbitraire des angles plan)

18°) ( $n_1 \sin i_1 = n_2 \sin i_2$  (DESCARTES de la réfraction))

donc ici :  $\sin i_1 = n \sin i_2$ )

et  $i_2 - D_1 = i_1$

soit  $D_1 = i_2 - i_1$

ensuite :

$$(-D_2 + i_2 + i_3 = \pi) \Rightarrow [D_2 = i_2 + i_3 - \pi]$$

et enfin :  $-D_3 + i_3 = -i_1 \Rightarrow [D_3 = i_3 + i_1]$

19°) DESCARTES :  $\begin{cases} \sin i_1 = n \sin i_2 & (\text{réfraction d'entrée}) \\ i_3 = i_2 & (\text{réflexion}) \\ n \sin (-i_3) = \sin i_1 & (\text{réfraction de sortie}) \end{cases}$

soit  $i_3 = i_2 = \arcsin \left( \frac{\sin i_1}{n} \right)$

et comme  $n \sin (-i_3) = n \sin (-i_2) = -\sin i_1 = \sin i_1$

alors  $i_1 = -i_1$

$$15^\circ) D(\angle) = D_1 + D_2 + D_3$$

$$D = (i_2 - i_1) + (i_2 + i_3 - \pi) + i_3 + i_4.$$

$$D = 2i_2 + 2i_3 + i_4 - i_1 - \pi$$

$$D = 4i_2 - 2i_1 - \pi$$

mit:  $D = 4 \arcsin\left(\frac{\sin i}{m}\right) - 2i_1 - \pi$ .

$$16^\circ) \frac{d(\arcsin x)}{dx} = \frac{1}{\sqrt{1-x^2}}$$

dann:  $\frac{d(D+2i_2)}{di_1} = \frac{d(4 \arcsin\left(\frac{\sin i}{m}\right))}{di_1}$

mit:

$$\frac{dD}{di_1} + 2 = 4 \times \frac{d(\arcsin\left(\frac{\sin i}{m}\right))}{d\left(\frac{\sin i}{m}\right)} \times \frac{d\left(\frac{\sin i}{m}\right)}{di_1}$$

$$\frac{dD}{di_1} + 2 = 4 \times \frac{1}{\sqrt{1-\left(\frac{\sin i}{m}\right)^2}} \times \frac{1}{m} \cos i$$

extremum de  $D$  pour  $\frac{dD}{di_1} = 0$

$$\Rightarrow \sqrt{1-\left(\frac{\sin i_{\max}}{m}\right)^2} = \frac{2}{m} \cos i_{\max}$$

$$1 - \left(\frac{\sin i_{\max}}{m}\right)^2 = \frac{4}{m^2} (1 - \sin^2 i_{\max})$$

$$3 \left(\frac{\sin i_{\max}}{m}\right)^2 = \frac{4}{m^2} - \frac{m^2}{m^2}$$

mit  $(\sin i_{\max})^2 = \frac{h-m^2}{3}$

et  $\sin i_{\max} = \sqrt{\frac{h-m^2}{3}}$

17°) Ainsi :

$$D_{\max} = h \arcsin \left( \sqrt{\frac{h-m^2}{3m^2}} \right)$$
$$= 2 \arcsin \left( \sqrt{\frac{h-m^2}{3}} \right) - \pi.$$

18°)  $D_{\max}$  décroissante de  $m$  lien  $m$  décroissant de  $\lambda$   
figure 5 Cauchy.

ainsi :

si  $\lambda$  croît

alors  $m$  décroît et donc  $D_{\max}$  croît.

19°)  $600 \leq \lambda \leq 750 \text{ nm}$ .  
(violet) (rouge)

20°) Comme  $D_{\max}$  croît avec  $\lambda$ , l'anneau rouge est plus grand que l'anneau violet. (au dessous donc)

21°) Nous n'avons considéré qu'une seule réflexion possible avant la sortie (en "avant"). Il peut y en avoir 2 ou 3 mais la perte d'énergie (par transmission) lors de ces réflexions induit des arcs-en-ciel de moins en moins visibles.

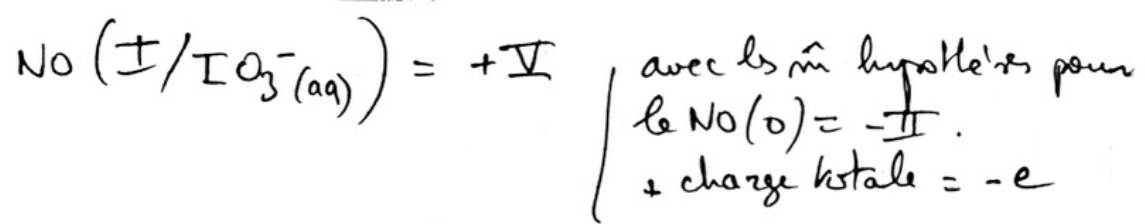
---

Exercice ② : Oxygénation pour la vie marine.

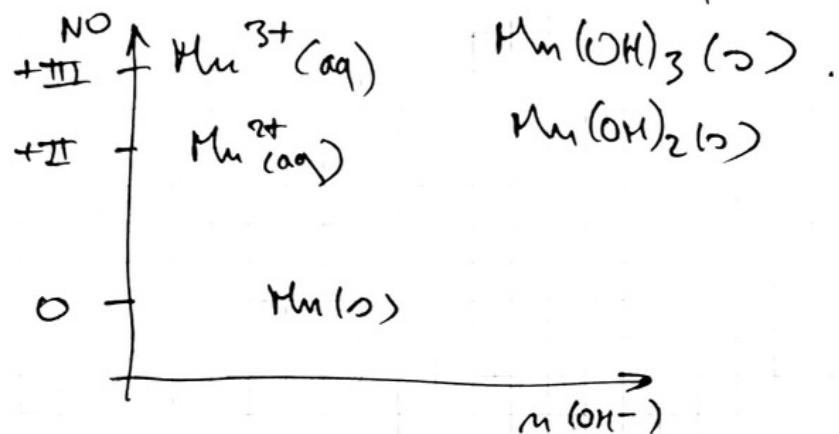
II.A] Q13)  $O_2(g) / H_2O$  couple dans lequel  $H_2O$  est réducteur  
 $H_2O / H_2(g)$  couple dans lequel  $H_2O$  est oxydant  
(que l'on note souvent  $H_{(aq)}^+ / H_2(g)$ )

Q14)  $NO \text{ Mn} / (\text{Mn(OH})_2) = +II$

en considérant /  $NO(H) = +I$   
/  $NO(O) = -II$ . (+ espèce neutre électrique)



Q15) On peut ébaucher le prédiagramme représentant les domaines relativement aux NO du Mn et à la quantité d'ions  $\text{OH}^-$ .



En ajoutant que les frontières entre  $\text{Mn}(\text{s})$ ,  $\text{Mn}^{2+}$  puis  $\text{Mn}^{3+}$  doivent être horizontales (redox pur) et que les frontières entre  $\text{Mn}^{2+}$  et  $\text{Mn}(\text{OH})_2(\text{s})$  ainsi que  $\text{Mn}^{3+}$  et  $\text{Mn}(\text{OH})_3(\text{s})$  doivent être verticales (pur acid-base), on en déduit sans ambiguïté que :

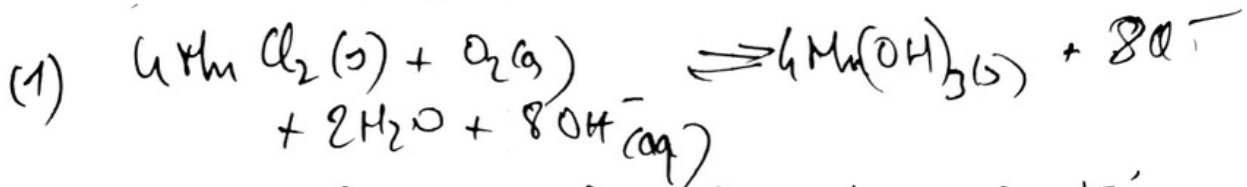
- A  $\leftrightarrow \text{Mn}^{3+}(\text{aq})$
- B  $\leftrightarrow \text{Mn}(\text{OH})_3(\text{s})$
- C  $\leftrightarrow \text{Mn}^{2+}(\text{aq})$
- D  $\leftrightarrow \text{Mn}(\text{OH})_2(\text{s})$
- E  $\leftrightarrow \text{Mn}(\text{s})$ .

Q16) Les espèces stables avec 1 présence de  $\text{O}_2$  dans un eq avec 1 phase gazeuse de  $\text{O}_2(\text{g})$  sont A ( $\text{Mn}^{3+}(\text{aq})$ ) et B ( $\text{Mn}(\text{OH})_3(\text{s})$ ).  
(aux faibles pH on peut avoir  $\text{Mn}^{2+}(\text{aq})$ ).

## II.B) WINKLER

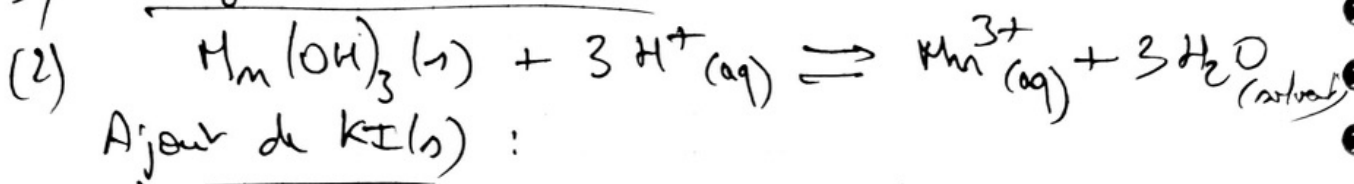
Q17) En milieu fortement basique, les domaines du manganèse à nombre d'oxydation +II ou 0 sont clairement disjoints du domaine de  $\text{O}_2(\text{g})$  donc la réaction entre  $\text{Mn}^{+\text{II}}$  est quantitative (quasi totale)

Q18)  $\text{Mn}(\text{OH})_3(s)$  sur le précipité brun.

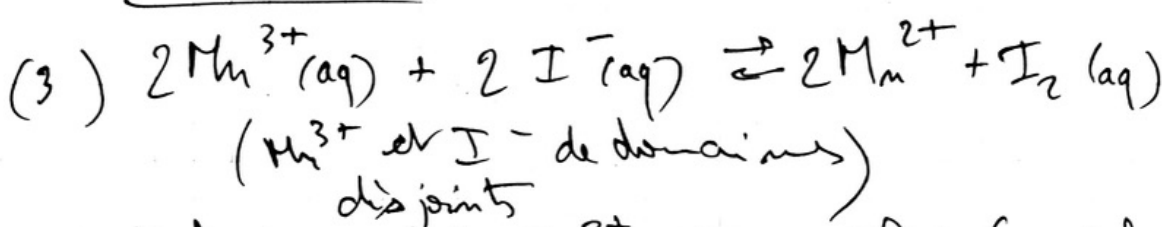


Réaction lente de formation du précipité.

Q19) Passage en milieu acide :



Ajout de  $\text{KI}(s)$  :



Q20) Il faut que les  $\text{Mn}^{3+}$  soit en défaut (réactif limitant) relativement à  $\text{I}^-$   
(Ils ont été produits en quantité proportionnelle au  $\text{O}_2$  dissous initialement).

Q21) Par stoechiométrie :  $m\text{S}_2\text{O}_3^{2-} = 2m\text{I}_2$   
(équivalence)

$$\text{or } m\text{I}_2 = \frac{m\text{Mn}^{3+}}{2} \quad (\text{stoechiométrie de (3)})$$

$$\text{et } m\text{Mn}^{3+} = m\text{Mn}(\text{OH})_3(s) = 4 \times m\text{O}_2(g)$$

(2) (1)

Ainsi :

$$\underline{c_1 V_1 = m\text{S}_2\text{O}_3^{2-}(aq)} = 4 \times m\text{O}_2(g) = \underline{4 c(\text{O}_2) \times V_0}$$

$$Q22) c(\text{O}_2) = \frac{5 \cdot 10^{-3} \times 8/3}{4 \times 50} \approx 0,21 \cdot 10^{-3} \text{ mol/l.}$$

On trouve 210 pmol / kg d'eau.

Q23) Cela correspond parfaitement à la concentration en dioxygène des eaux de surface océanique propice à la vie aquatique. (Plus concentré aux latitudes extrêmes)

### EXERCICE ③ : Microphones de guitare électrique

Q15) Aux TBF, le condensateur a une impédance très supérieure à la résistance et à celle de la bobine.

Alors  $s(t) \approx e(t)$  par port division de tension.

Aux THF, le condensateur a cette fois l'impédance très faible comparée à celle de la résistance et de la bobine.

Alors  $s(t) \ll e(t)$ .

On en conclut qu'il s'agit d'un filtre passe-bas du second ordre (présence de L & C).

Q16) Par port division de tension, la fraction de transfert à vides égale au rapport des impédances complexes :

$$H(j\omega) = \frac{s}{e} = \frac{\frac{1}{j\omega C}}{R + jL\omega + \frac{1}{j\omega C}} = \frac{1}{1 + jR\omega C - L\omega^2 C}$$

Q17) Par identification tenu à tenu :

$$H_0 = 1 \quad \left( \omega_0^2 = \frac{1}{LC} \right) \quad \text{et} \quad RC = \frac{1}{Q\omega_0}$$

$$\text{not : } Q = \frac{1}{RC\omega_0} = \frac{\sqrt{LC}}{RC} = \frac{1}{R} \sqrt{\frac{L}{C}}$$

Q18) Écrivons le gain linéaire en tension  $G(\omega) = |H(j\omega)|$

$$G(\omega) = \frac{1}{\sqrt{\left(1 - \left(\frac{\omega}{\omega_0}\right)^2\right)^2 + \left(\frac{\omega^2}{Q^2\omega_0^2}\right)}}$$

Le gain est max lorsque  $\left(1 - \left(\frac{\omega}{\omega_0}\right)^2\right)^2 + \left(\frac{\omega^2}{Q^2\omega_0^2}\right)$  est min

On note  $X \equiv \frac{\omega}{\omega_0}$  :

$$f(X) = \left(1 - X^2\right)^2 + \left(\frac{X^2}{Q^2}\right)$$

$$\frac{df}{dx} = -4X(1-X^2) + \frac{2X}{Q^2}$$

$$\frac{d^2f}{dx^2} = -4(1-X^2) + (-4X)(-2X) + \frac{2}{Q^2}$$

$$\frac{d^2f}{dx^2} = -4 + 12X^2 + \frac{2}{Q^2}$$

L'annulation de la dérivée (pour  $x \neq 0$ ) correspond à :

$$-4(1-x_r^2) + \frac{2}{Q^2} = 0$$

$$1-x_r^2 = \frac{1}{2Q^2}$$

$$x_r^2 = 1 - \frac{1}{2Q^2}$$

$$\text{si } Q > \frac{1}{\sqrt{2}} \quad x_r^2 > 0 \quad \text{et donc } x_r = \sqrt{1 - \frac{1}{2Q^2}} > 0$$

Notons encore :  $w_r = w_0 \sqrt{1 - \frac{1}{2Q^2}}$

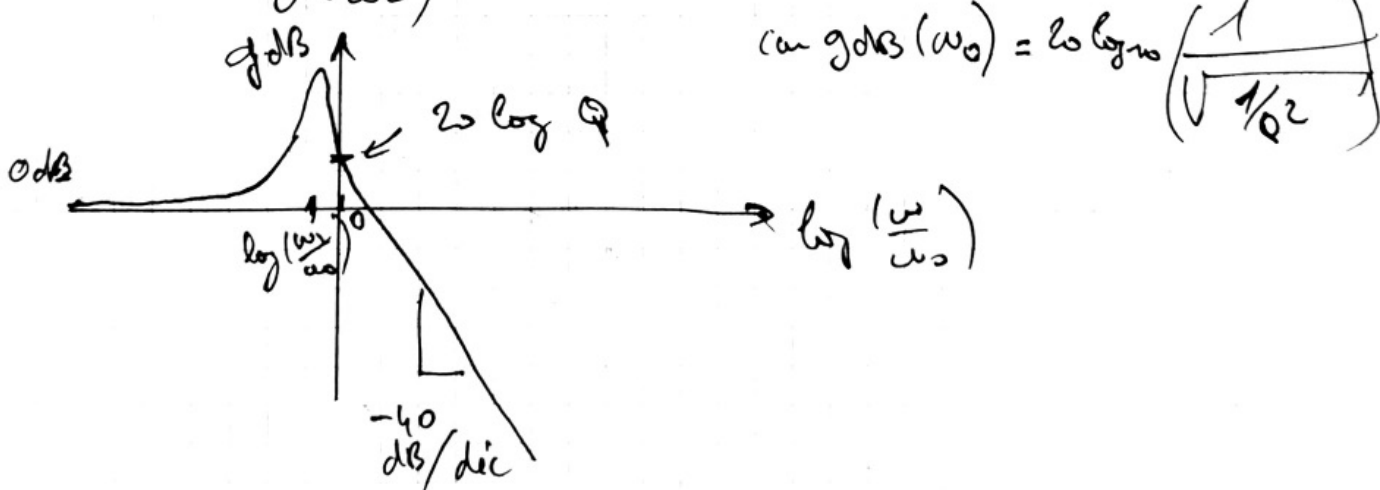
On peut vérifier qu'en  $x_r$  :

$$\left(\frac{d^2f}{dx^2}\right)_{x_r} = -4 + 12\left(1 - \frac{1}{2Q^2}\right) + \frac{2}{Q^2}$$

$$= 8 - \frac{4}{Q^2} = 4\left(2 - \frac{1}{Q^2}\right) = \frac{8\left(1 - \frac{1}{2Q^2}\right)}{8x_r^2}$$

qui, si  $Q > \frac{1}{\sqrt{2}}$ , est positive. Soit 1 minimum de la fonction  $f(x)$  et donc 1 max de  $G(w)$ .

Q19) Allure du diagramme de BODE en fonction de  $\log\left(\frac{\omega}{\omega_0}\right)$



$$\text{car } \text{gdB}(\omega_0) = 20 \log_{10} \left( \frac{1}{\sqrt{1/2}} \right)$$

(Q20) On fait varier la fréquence d'un GBF alimentant le circuit (sur plusieurs décades) et on relève le gain linéaire à chaque fréquence. Une interface entre l'oscilloscope numérique et l'ordinateur permet de recueillir ces valeurs de mesures automatiquement.

(Q21) La capacité  $C$  n'est pas celle d'un dipôle localisé aux bornes duquel on peut relever la tension. (effet capacitive dans le bobinage).

(Q22) La fonction de transfert devient :

$$H'(j\omega) = \frac{Z_{\parallel}}{R + jL\omega + Z_{\parallel}} \quad \text{avec} \quad Z_{\parallel} = \frac{\left(\frac{1}{j\omega C} \times r\right)}{r + \frac{1}{j\omega C}}$$

$$Z_{\parallel} = \frac{r}{1 + jR\omega}$$

$$H'(j\omega) = \frac{r}{R(1 + jR\omega) + r + jL\omega - LrC\omega^2}$$

$$H'(j\omega) = \frac{r}{(R+r) + j(L+rRC)\omega - LrC\omega^2}$$

$$H'(j\omega) = \frac{\frac{r}{R+r}}{1 + j\left(\frac{L+rRC}{R+r}\right)\omega - \frac{LrC}{R+r}\omega^2}$$

$$\boxed{H_0' = \frac{r}{R+r}} \rightarrow \text{réglable donc pour les basses fréquences.}$$

$\Rightarrow$  modification de la fréquence de coupure également. (cela reste un filtre BF)

(Q23)  $Z = \frac{(R + jL\omega)\left(\frac{1}{j\omega C}\right)}{R + jL\omega + \frac{1}{j\omega C}} = \frac{R + jL\omega}{1 + jR\omega - L\omega^2}$

(Q24)  $Z$  et  $r$  en série  $\Rightarrow$  parcours par le même courant

$$\frac{U_L}{Z} = i = \frac{U_R}{r} \Leftrightarrow Z = r \frac{U_L}{U_R}$$

Q25) Aux TBF, les termes prépondérants sont d'ordre zéro au dénominateur ainsi qu'au numérateur, ainsi :

$$\underline{Z} \rightarrow R \quad (\text{avec } \frac{R}{\omega})$$

Lecture (approximative) des gains linéaires à TBF :

- Fender:  $G(\text{TBF}) \rightarrow 1,5$

- Dynasonic:  $G(\text{TBF}) \rightarrow 0,6$

Ce qui donne avec  $G2h$  et  $\omega = 10\text{ rad/s}$

$$\rightarrow R \approx 15\text{ k}\Omega \text{ pour le FENDER}$$

$$\text{et } R \approx 6\text{ k}\Omega \text{ pour le DYNASONIC}$$

Q26) Pour la fréquence de  $1\text{ kHz}$  environ :

$$\underline{Z} \approx R + jL\omega$$

soit  $\alpha \frac{\underline{U}_2}{\underline{U}_1} \approx R + jL\omega$ .

$$\Rightarrow jL\omega \approx \alpha \cdot \frac{\underline{U}_2}{\underline{U}_1} - R.$$

on bien en norme : 
$$\underbrace{\left( \frac{L^2\omega^2}{+ R^2} \right)}_{\approx 1} \approx \alpha^2 \frac{|M_2|^2}{|M_1|^2}$$

$$\Rightarrow L \approx \frac{1}{\omega} \sqrt{\left(\alpha \frac{U_2}{U_1}\right)^2 - R^2}$$

A  $1\text{ kHz}$  on lit sur les diagrammes de BODE :

Fender :  $\left| \frac{\underline{U}_2}{\underline{U}_1} \right|_{1\text{ kHz}} \approx 7$

Dynasonic :  $\left| \frac{\underline{U}_2}{\underline{U}_1} \right|_{1\text{ kHz}} \approx 1,1$

avec  $\omega = 2\pi f = 2\pi \cdot 10^3 \text{ rad/s}$ .

A.N.:  $L_{\text{FENDER}} \approx 11\text{ H}$

$|L_{\text{DYNASONIC}} \approx 1,5\text{ H}|$

Q27] Pour  $Q \gg 1$  et  $\omega$  proche de  $\omega_0$ :

$$\rightarrow \left(1 - \frac{\omega^2}{\omega_0^2}\right) \text{ n'est pas comparable à } j \frac{\omega}{Q\omega_0} \sim \frac{j}{Q}$$

(les 2 termes sont faibles)

donc on approche:  $\underline{Z} \approx \frac{R \times jQ}{\left(1 - \frac{\omega^2}{\omega_0^2}\right) + j \frac{\omega}{Q}}$

ou  $\underline{Z} \approx \frac{jRQ^2}{Q\left(1 + \frac{\omega}{\omega_0}\right)\left(1 - \frac{\omega}{\omega_0}\right) + j}$

$$\underline{Z} \approx \frac{jRQ^2}{2Q\left(1 - \frac{\omega}{\omega_0}\right) + j}$$

$$\underline{Z} \approx -R \times \frac{Q^2}{-1 + 2jQ\left(1 - \frac{\omega}{\omega_0}\right)}$$

$$\underline{Z} \approx \frac{RQ^2}{1 - 2jQ\left(1 - \frac{\omega}{\omega_0}\right)}.$$

$$M(\underline{Z}) \approx \frac{RQ^2}{\sqrt{1 + 4Q^2\left(1 - \frac{\omega}{\omega_0}\right)^2}}$$

$$|Z(\omega_0)| \approx RQ^2 = M \left| \frac{M_2}{m} \right|$$

On peut alors obtenir le facteur de ménée:  $Q \approx \sqrt{\frac{M}{R}} \left| \frac{M_2}{m} \right|$

FENDER:  $Q \approx \sqrt{\frac{10}{15} \times 200}$

$$Q \approx 11,8$$

DYNASONIC:  $Q \approx \sqrt{\frac{10}{6} \times 1100} \approx 43$

mais il resterait à récrire  $Q$  fonction de  $L, r, R$  etc C!  
(en développant Q22))

Si on utilise les fréquences de résonance:  $f_0 = \frac{\omega_0}{2\pi} = \frac{1}{2\pi} \sqrt{\frac{R+r}{rLC}}$

FENDER:  $f_0 \approx 3 \text{ kHz} \Rightarrow C_{\text{FENDER}} \approx 2 \mu\text{F}$

DYNASONIC:  $f_0 \approx 27 \text{ kHz} \Rightarrow C_{\text{DYNASONIC}} \approx 1 \mu\text{F}$ .